

УДК 539.2

СПЛАВЫ ЖЕЛЕЗО-МАРГАНЕЦ-УГЛЕРОД С АНОМАЛЬНЫМ ОБЪЕМОМ КРИСТАЛЛИЧЕСКОЙ РЕШЕТКИ

© 2008 г. Л. И. Квеглис¹, Ф. М. Носков¹, В. В. Казанцева¹, Р. Б. Абылкалыкова²,
У. А. Рахимова², В. А. Мусихин³, Н. Л. Зайцев⁴, Т. А. Меньшикова⁴

E-mail: kveglis@iph.krasn.ru

Исследованы структуры межзеренных прослоек стали 110Г13Л, в которой обнаружено увеличение объема кристаллической решетки и появление намагниченности при динамическом нагружении закаленных на аустенит образцов.

Сталь Гадфильда (110Г13Л) широко известна как материал, самоупрочняющийся при ударном нагружении. Физико-химическая природа такого самоупрочнения до сих пор не раскрыта. Цель работы – выяснение причин появления намагниченности межзеренной прослойки в аустенитной стали 110Г13Л ($Fe_{86}Mn_{12.8}C_{1.2}$), в которой обнаружено аномальное увеличение объема.

Исследовали образцы стали 110Г13Л, полученные методом электродуговой плавки и подвергнутые следующей термообработке: перед закалкой на аустенит от 1150°C образцы подвергали отжигу при температуре 800–850°C. Состав сплава $Fe_{86}Mn_{12.8}C_{1.2}$ контролировали методами спектрального, рентгеноспектрального флуоресцентного и химического анализов. Твердость по Бринеллю после динамического нагружения (образцы работали в камнедробилке), составила более 4000 ед. Исследование структуры поверхности образца проводили методами оптической микроскопии и рентгеноструктурного анализа. На рис. 1 показаны микрофотографии поверхности стали до и после ударного нагружения.

В аустенитных зернах видны следы пластической деформации. Компьютерный анализ размера зерна показывает, что средний балл зерна равен 4. Область с дефектной структурой прилегает к краю образца и занимает около 1/3 его площади. Исследование микротвердости по методу Виккерса показало, что микротвердость межзеренной границы 4830 мПа, а микротвердость основного зерна аустенита 3460 мПа. После ударного нагружения образцы изменили свое магнитное состояние. Участки, на которых непосредственно производили удар, становились намагниченными. Мар-

тенситет деформации был обнаружен в стали Гадфильда и описан в [1, 2].

С целью выяснения особенностей намагничивающихся и ненамагничивающихся участков проведены исследования химического состава методом рентгеновского флуоресцентного анализа. Различие в химическом составе не обнаружено. Структура исследована с помощью рентгеноструктурного анализа. Расшифровки рентгенограмм проведены с помощью стандартных международных таблиц JCPDS – International Centre for Diffraction Data, Card № 01-1252. Кроме рефлексов мартенситной фазы с ОЦК-решеткой обнаружены дополнительные рефлексы. На границах аустенитных зерен выявляются включения фазы, имеющей тетраэдрически плотноупакованную структуру Франка–Каспера $FK12 + FK14$ [3].

Рентгеноструктурный анализ показал, что в некоторых участках образца интенсивность рефлексов (331) и (222) значительно выше интенсивности рефлекса от плоскостей типа (111). Такую картину можно понять, если сопоставить полученный дифракционный спектр, показанный на рис. 2а с картинами структур Франка–Каспера [3]. На рис. 2б показана картина дифракции рентгеновских лучей для структуры $MgCu_2$, относящаяся к структурам Франка–Каспера. Видно, что рефлексы 311 и 222 имеют большую интенсивность по сравнению с рефлексами (111) и (220) (Powder Diffraction File (JCPDS – International Center for Diffraction Data, Swarthmore, PA, Inorganic, card 01-1226).

Обнаружена корреляция в изменении структуры и магнитных свойств исследуемых образцов. Образцы были подвергнуты динамическому нагружению 3000 кг на установке испытания твердости по Бринеллю.

После деформации в некоторых участках образца появляется ферромагнитная фаза. Локальную коэрцитивную силу измеряли методом Керра. В крутильном магнитометре измеряли величину кручущего момента для фольг, вырезанных искро-

¹ Сибирский федеральный университет, Красноярск.

² Восточно-казахстанский технический университет им. Д. Серикбаева, Усть-Каменогорск.

³ Институт физики им. Л.В. Киренского СО РАН, Красноярск.

⁴ Сибирский физико-технический институт, Томск.

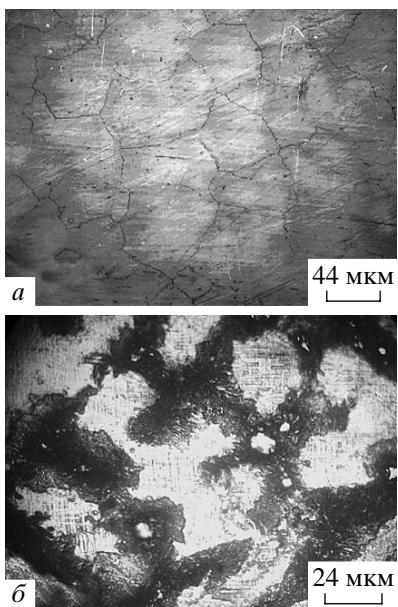


Рис. 1. Оптические микрофотографии поверхности шлифа образца стали 110Г13Л: *а* – до динамического нагружения; *б* – после динамического нагружения.

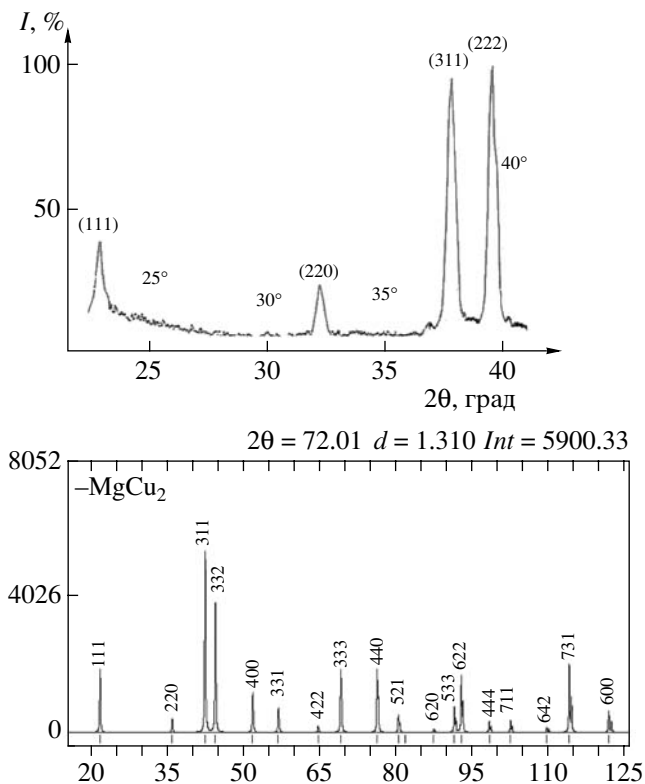


Рис. 2. Спектры рентгеновской дифракции: *а* – для некоторых участков деформированной ударом стали 110Г13Л; *б* – для структуры MgCu₂.

вым методом из образцов стали. Обнаружено, что после ударного нагружения величина крутящего момента увеличивалась вдвое при тех же значениях угла вращения. В фольгах и пленках сплава Fe–

Mn–C впервые обнаружена односторонняя магнитная анизотропия методом крутящих моментов в крутильном магнитометре.

Сталь 110Г13Л известна как антиферромагнитный инвар [4]. Поскольку инвар характеризуется низкотемпературной неустойчивостью параметров “намагченность–объем”, то антиинвар [5] определяют как высокотемпературную неустойчивость намагченность–объем. Локализация деформации в контакте удара инициирует фазовый переход, аналогичный температурному переходу, и может инициировать механохимические процессы [6], проходящие с образованием из исходной аустенитной фазы следующих фаз: мартенситной, карбидной, а также структур Франка–Каспера, для которых увеличение объема – характерная особенность. Такие структуры могут получаться в результате объединения кластеров Франка, Каспера *FK12 + FK14*, формирующихся из структурно неустойчивых состояний. В [7] на основании экспериментальных исследований обнаружено увеличение объема образцов сплавов, закаленных от температур упорядочения икосаэдрической фазы Fe–Cu–Al. Кластеры икосаэдрических фаз были обнаружены нами в пленочных образцах Fe₈₆Mn₁₃C [1].

Для сравнения результатов наших экспериментов по дифракции рентгеновских лучей с результатами работы [5], где обсуждают увеличение объема при фазовых превращениях в сплавах системы Fe–Mn, построена табл. 1. Из сравнения данных таблицы следует, что объем элементарной ячейки в наших образцах аномально увеличен. Мы считаем, что при ударном нагружении возможно прохождение механохимических реакций с образованием структур Франка–Каспера *FK12 + FK14*. Механохимическая реакция – это образование новой фазы или химического соединения под действием механического удара. Оно возникает, благодаря одновременному переключению химических связей и межатомным сдвигам. Результат – понижение свободной энергии системы, состоящей из особых групп атомов. Такая модель для системы возбужденных атомов была предложена в [8]. Мартенситный переход можно рассматривать как разновидность супераррениусовой релаксации или механохимической реакции [6]. Согласно [2], мартенсит деформации, получаемый при динамическом нагружении, может составлять не более 1.5–2% от объема образца. Из наших экспериментов по измерению амплитуды и характера крутящих моментов образцов, помещенных в магнитное поле, следует, что этот объем значительно больше.

Для выяснения природы магнетизма в сплаве Fe₈₇Mn₁₃, имеющем структуру Франка–Каспера *FK12 + FK14*(β-Fe₈₇Mn₁₃), использовали метод рассеянных волн (РВ) [9]. Метод позволяет построить локальную электронную структуру сплава с учетом спиновой поляризации.

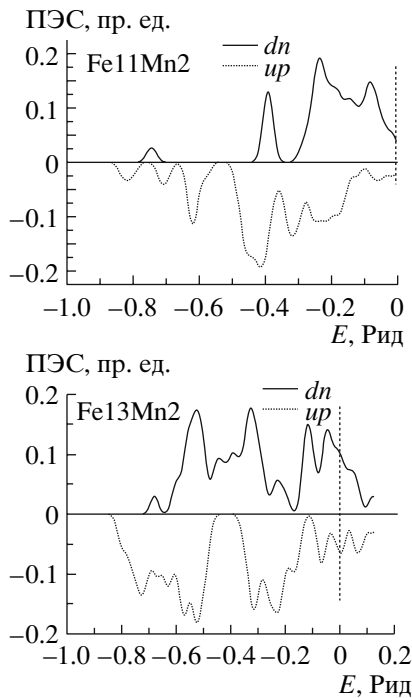


Рис. 3. Плотности спин-поляризованных электронных состояний (ПЭС) выбранных нанокластеров, полученные по методу теории (РВ); в верхней полуплоскости расположены ПЭС со спином вниз, а в нижней – со спином вверх.

Значения атомного объема для ОЦК- и ГЦК-железа и параметр решетки ГЦК

Значения атомного объема		
	по данным работы [4], \AA^3	наш эксперимент, \AA^3
ГЦК	11.36	11.77
ОЦК	11.77	12.40
Параметр решетки		
ГЦК	3.58	3.61

На рис. 3 представлены спектры плотности электронных состояний, рассчитанные методом рассеянных волн для сплава β -Fe₈₇Mn₁₃, содержащего два типа кластеров: Fe11Mn2 – состоящего из 11 атомов Fe и двух атомов Mn (FK12 – двенадцативершинник) и кластера Fe13Mn2 – состоящего из 13 атомов Fe и двух атомов Mn (FK14 – четырнадцативершинник).

Различие в структуре кластеров и, как следствие, в потенциалах их атомов и волновых функций приводит к разному магнитному моменту в локальных областях β -фазы. Так, спин-поляризованный расчет дает для Fe11Mn2 $\langle \mu \rangle = 1.4 \mu_B/\text{ат}$, а для Fe13Mn2 $\langle \mu \rangle = 0.5 \mu_B/\text{ат}$. Резкое уменьшение момента у структуры Fe13Mn2 обвязано возникновению антиферромагнитного выстраивания части атомов в ней [10].

ВЫВОДЫ

1. Под действием механического удара, как в массивных, так и в пленочных образцах системы Fe–Mn могут происходить механохимические реакции. Продуктами реакции могут быть как мартенсит деформации, так и фазы, имеющие структуры Франка–Каспера.

2. Эффекты увеличения параметра решетки аустенита до 3.62 Å и аномального уменьшения параметра решетки мартенсита деформации подтверждают гипотезу о зарождении кластеров Франка–Каспера в процессе ударной нагрузки.

3. Построенная методом рассеянных волн локальная электронная структура качественно объясняет поведение магнитных свойств при механическом нагружении (обменная анизотропия, изменение намагниченности).

СПИСОК ЛИТЕРАТУРЫ

- Квеглис Л.И., Абылкалыкова Р.Б., Носохова Ш.Б. и др. // Нанотехника. 2007. № 10.
- Крянин И.Р. Повышение качества отливок из стали Г13Л. М.: Гос. научн.-техн. изд-во машиностроит. лит. 1963. С. 157.
- Пирсон У. Кристаллохимия и физика металлов и сплавов (Пер. с англ). М.: Мир, 1977. Т. 1–2. С. 418.
- Sedov V.L., Tsigelnik O.A. J. Magn. Magn. Mater. 1998. V. 183. P. 117.
- Acet M., Zahres H., Wassermann E.F. // Phys. Rev. 1994. V. 49. № 9. P. 57.
- Gilman J.J. // Science. 1996. V. 274. P. 65.
- Прекул А.Ф., Казанцева В.А., Шалаева Е.В., Щеголихина Н.И. // Письма в ЖЭТФ. 2006. Т. 67. Вып. 3. С. 190.
- Langer J.S., Lemaitre A. 2004. arXiv:cond-mat/0411038v1.
- Слэтер Дж. Методы самосогласованного поля для молекул и твердых тел. М.: Мир, 1978. С. 428.
- Демиденко В.С., Зайцев Н.Л., Нечаев И.А. и др. // ФММ. 2006. Т. 101. № 3. С. 1.